

# Codage et Cryptanalyse linéaire

## Application au DES

B. Gérard Le Bobinnec - J-P. Tillich



C2 - 18 mars 2008

- 1 Cryptanalyse linéaire
- 2 Modélisation pour l'utilisation de plusieurs équations
- 3 Utilisation d'algorithmes de décodage
- 4 Conclusion

- 1 Cryptanalyse linéaire
- 2 Modélisation pour l'utilisation de plusieurs équations
- 3 Utilisation d'algorithmes de décodage
- 4 Conclusion

# Rappels sur le DES

Entrées :

- Message de 64 bits :  $P = (L_0 || R_0)$ .
- Clé de 56 bits  $K \rightarrow (K_1, \dots, K_{16})$  sous clés de 48 bits.

Sorties :

- Chiffré de 64 bits :  $C = (L_{16} || R_{16})$ .

## Schéma de Feistel

Pour  $0 \leq i \leq 15$  calculer :

$$L_{i+1} = R_i \quad , \quad R_{i+1} = L_i \oplus F(R_i, K_{i+1}).$$

Renvoyer  $C = (L_{16} || R_{16})$ .

## Remarque

Pour déchiffrer  $C$  il suffit de lui appliquer le DES en inversant l'ordre des sous-clés.

- Attaque à clairs connus.
- Exploite le manque de non-linéarité d'un chiffrement.

## Equation

$$\langle P, \pi \rangle \oplus \langle C, \gamma \rangle \oplus c = \langle K, \kappa \rangle$$

$$\langle A, B \rangle = \bigoplus_k A_k \cdot B_k.$$

- $\pi \in \mathbb{F}_2^{64}$  : masque d'entrée.
- $\gamma \in \mathbb{F}_2^{64}$  : masque de sortie.
- $\kappa \in \mathbb{F}_2^{56}$  : masque de clé.

- Attaque à clairs connus.
- Exploite le manque de non-linéarité d'un chiffrement.

## Equation probabiliste

$$\mathcal{P}(\langle P, \pi \rangle \oplus \langle C, \gamma \rangle \oplus c = \langle K, \kappa \rangle) = \frac{1}{2} + \varepsilon.$$

$$\langle A, B \rangle = \bigoplus_k A_k \cdot B_k.$$

- $\pi \in \mathbb{F}_2^{64}$  : masque d'entrée.
- $\gamma \in \mathbb{F}_2^{64}$  : masque de sortie.
- $\kappa \in \mathbb{F}_2^{56}$  : masque de clé.

$$\mathcal{P}(\langle P, \pi \rangle \oplus \langle C, \gamma \rangle \oplus \mathbf{c} = \langle K, \kappa \rangle) = \frac{1}{2} + \varepsilon.$$

- Récupérer  $N = O(1/\varepsilon^2)$  couples de messages.
- Calculer  $T$  le nombre de couples pour lesquels la partie gauche de l'équation vaut 1.
- Si  $T > N/2$  alors on devine que  $\langle K, \kappa \rangle = 1$ , 0 sinon.

## Remarque

Ne permet de retrouver qu'un bit d'information sur la clé.  
Une des motivations pour utiliser plusieurs équations.

$$\mathcal{P}(\langle P, \pi \rangle \oplus \langle C, \gamma \rangle \oplus \langle F(P, K_1), \gamma' \rangle \oplus c = \langle K, \kappa \rangle) = \frac{1}{2} + \varepsilon.$$

$\langle F(P, K_1), \gamma' \rangle$  est en fait une fonction de  $C$  et de  $\tilde{K}$ ,  $\tilde{K}$  étant composée de 6 bits de  $K$ .

- Pour chacune des  $2^6$  possibilités pour  $\tilde{K}$  calculer  $T$  le nombre de couples pour lesquels la partie gauche de l'équation vaut 1.
- Parmi les  $T$  repérer celui qui maximise  $|T - N/2|$ .
- On devine que la clé partielle utilisée est le  $\tilde{K}$  correspondant.
- De plus, si  $T > N/2$  alors on devine que  $\langle K, \kappa \rangle = 1$ , 0 sinon.

## Remarque

Permet de retrouver 7 bits d'information sur la clé.  
Impose des contraintes sur l'équation utilisée.

Cryptanalyse en 3 étapes :

- Extraction de l'information.
- Analyse de l'information.
- Recherche exhaustive (sur les bits restants).

## Attaque par distingueur

- Calcul des compteurs.
- Tri des compteurs (et donc des candidats pour  $\tilde{K}$ ).
- Recherche des 56 – 7 bits non devinés.

On va s'intéresser à la **phase d'analyse de l'information** en cas d'utilisation de plusieurs équations.

- 1 Cryptanalyse linéaire
- 2 Modélisation pour l'utilisation de plusieurs équations**
- 3 Utilisation d'algorithmes de décodage
- 4 Conclusion

- Masques de supports disjoints [Matsui CRYPTO'94] .
- Plusieurs équations avec le même masque de clé [Kaliski, Robshaw CRYPTO'94] [Choi, Hong, Hong, Lee 2005] .
- Plusieurs équations avec un masque de clé quelconque [Biryukov, De Cannière, Quisquater CRYPTO'04] .

## Problématique de la cryptanalyse linéaire multiple

$$K \longrightarrow (\langle K, \kappa_j \rangle)_{1 \leq j \leq n} = \tilde{K} \xrightarrow{\text{extraction}} (\mathcal{P}(\tilde{K}_j = 0))_{1 \leq j \leq n}$$

←  
analyse

Notre point de vue : **problème de décodage sur un canal gaussien.**

$\tilde{K} \in \mathcal{C}$ , code de longueur  $n$  et dimension  $k$ .

## Modèle

$$(X_j)_{1 \leq j \leq n} \xrightarrow{\text{canal}} (Y_j)_{1 \leq j \leq n}$$

$$X_j = (-1)^{\tilde{K}_j} \quad , \quad Y_j = X_j + N_j \quad , \quad N_j \sim \mathcal{N}\left(0, \frac{1}{4N\varepsilon_j^2}\right)$$

Les  $N_j$  sont indépendants.

Soit :

$$T_j = \sum_{(P,C)} \langle \pi_j, P \rangle \oplus \langle \gamma_j, C \rangle \oplus b_j.$$

Alors la cryptanalyse correspond à ce modèle si on considère :

$$Y_j = \frac{N - 2T_j}{2N\varepsilon_j}.$$

Etude du nombre de candidats plus vraisemblables que la bonne clé.

Junod : 21 attaques par distingueur [Junod SAC'01] :

*'We observe [...] a pessimistic rank expected value.'*

Phénomène connu en théorie des codes correcteurs :  
Avec une probabilité exponentiellement faible la taille de l'ensemble est exponentiellement grande.

La taille de l'ensemble varie entre 1 et  $2^k$  alors que le logarithme de la taille varie entre 0 et  $k$ .

Il est donc préférable de calculer l'espérance du logarithme de la taille.

$X$  et  $Y$  deux variables aléatoires discrètes à valeurs dans  $\mathcal{X}$  et  $\mathcal{Y}$ .  
On note  $p(x)$  (resp.  $p(y)$ ) loi de proba de  $X$  (resp.  $Y$ ).

L'entropie de  $X$  correspond au nombre de bits d'incertitude sur  $X$  :

$$\begin{aligned}\mathcal{H}(X) &= - \sum_{x \in \mathcal{X}} p(x) \log_2(p(x)) \\ \mathcal{H}(X|Y) &= - \sum_{x \in \mathcal{X}, y \in \mathcal{Y}} p(x|y) \cdot p(y) \log_2(p(x|y)) \\ \mathcal{I}(X; Y) &= \sum_{x \in \mathcal{X}, y \in \mathcal{Y}} p(x|y) \cdot p(y) \log_2 \left( \frac{p(x|y)}{p(x)} \right) \\ &= \mathcal{H}(X) - \mathcal{H}(X|Y)\end{aligned}$$

## Inégalité essentielle

$$\text{Si } p(\tilde{\mathbf{K}}|\mathbf{Y}) = \prod_{j=1}^n p(\tilde{K}_j|Y_j) :$$

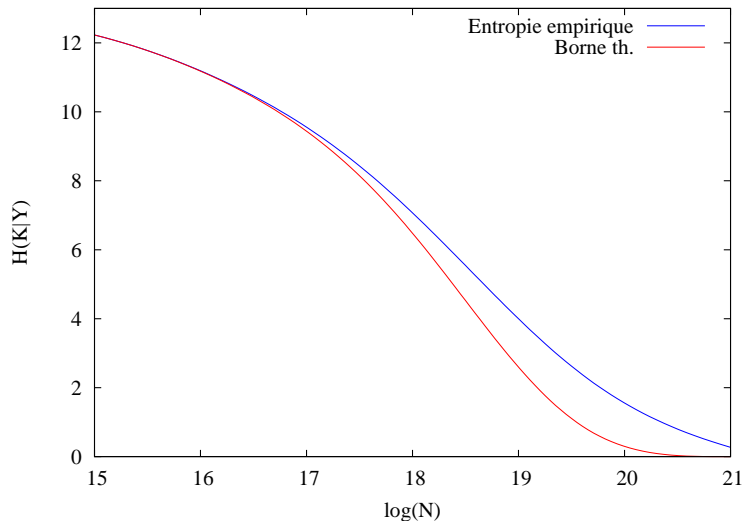
$$\mathcal{I}(\tilde{\mathbf{K}}; \mathbf{Y}) \leq \sum_{j=1}^n \mathcal{I}(\tilde{K}_j; Y_j) \quad , \quad \mathcal{H}(\tilde{\mathbf{K}} | \mathbf{Y}) \geq \mathcal{H}(\tilde{\mathbf{K}}) - \sum_{j=1}^n \mathcal{I}(\tilde{K}_j; Y_j).$$

## Application à l'attaque directe

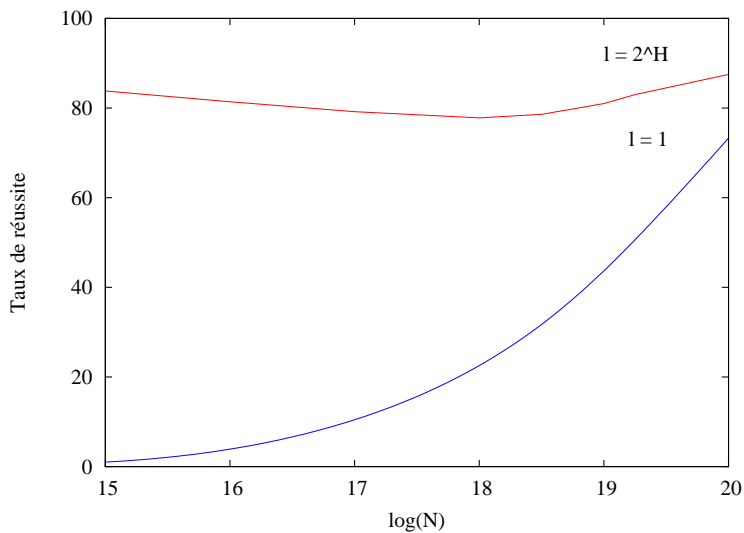
$$\tilde{\mathbf{K}} = (\tilde{K}_j)_j = \langle \mathbf{K}, \kappa_j \rangle \quad , \quad \mathcal{H}(\tilde{\mathbf{K}} | \mathbf{Y}) \geq k - \sum_{j=1}^n \mathbf{Cap}(\sigma_j^2) \quad , \quad \sigma_j^2 = \frac{1}{4N\varepsilon_j^2}$$

$$\mathbf{Cap}(\sigma^2) = \int_{-1}^1 \frac{\sigma}{\sqrt{2\pi(1-t^2)}} e^{-\frac{(1-\sigma^2 \tanh^{-1}(t))^2}{2\sigma^2}} \log_2(1+t) dt.$$

# Domaine de pertinence de la borne



# Entropie et taille de liste



- 1 Cryptanalyse linéaire
- 2 Modélisation pour l'utilisation de plusieurs équations
- 3 Utilisation d'algorithmes de décodage
- 4 Conclusion

$$K \longrightarrow X = \left( (-1)^{\langle K, \kappa_j \rangle} \right)_j \xrightarrow{\text{canal}} Y = (X_j + N_j)_j \xrightarrow{\text{décodage}} K'$$

## Décodage au maximum de vraisemblance

$K' \in \mathcal{C}$  qui maximise  $P(\mathbf{K} = K' \mid \mathbf{Y} = Y)$ .

Algorithme naïf :

- Calculer les  $2^k$  mots de code.
- Calculer leurs vraisemblances.
- Renvoyer le mot le plus vraisemblable.

Algorithme naïf  $\Leftrightarrow$  méthode actuelle de cryptanalyse.

Algorithme de décodage par résonance stochastique  
[Valembois 2000] .

## Avantages

- Ne regarde que peu de mots de code 'typiques'.
- Efficace (utilisation de tables de hachage).

## Désavantage

- Pas de résultat théorique sur sa complexité.

Pour retrouver 23 bits sur 8 tours :

- Algorithme naïf :  $2^{23}$  mots de codes.
- Résonance stochastique :  $2^{12}$  mots de code.

- 'Branch and bound Algorithm'.
- Décodage des Reed-Muller d'ordre 1 [Loidreau, Tavernier] .

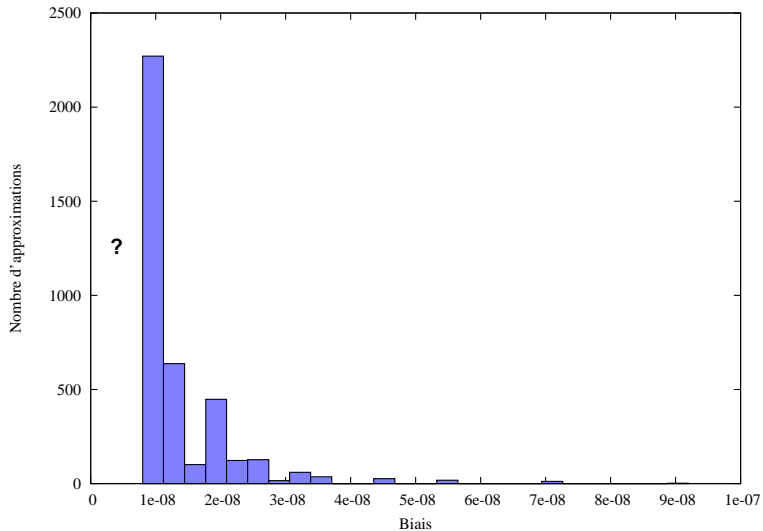
## Avantages des Reed-Muller

- Fonctionne même en cas de Key Scheduling non linéaire.
- Pas de 'Hull Effect'.

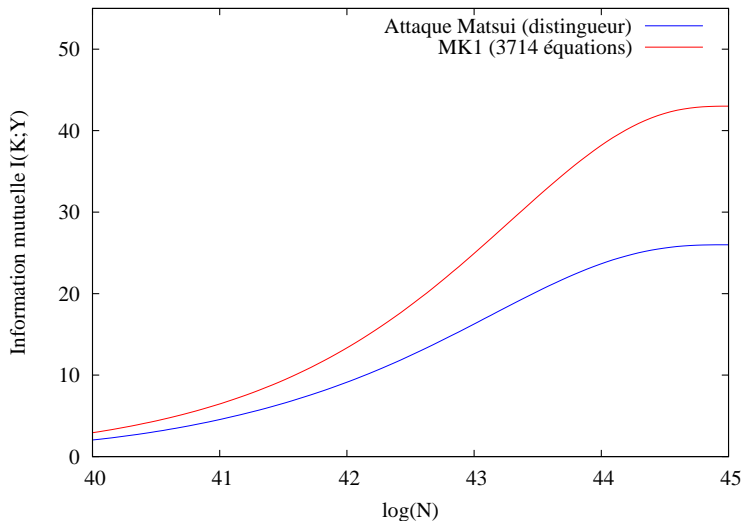
## Désavantages

- Nécessité d'avoir un bon masque de sortie (désavantage ?).
- Actuellement : trop long et volumineux pour des équations sur 16 tours.

# Approximations trouvées



# Potentiel de ce type d'attaque Vs distingueurs



- 1 Cryptanalyse linéaire
- 2 Modélisation pour l'utilisation de plusieurs équations
- 3 Utilisation d'algorithmes de décodage
- 4 Conclusion**

- On a vu un moyen d'**estimer la quantité d'information** gagnée lors d'une cryptanalyse.
- On peut **diminuer la complexité** de l'attaque directe en utilisant des techniques de codage.
- Perspectives :
  - Pour utiliser cette borne il suffit de pouvoir calculer  $\mathcal{I}(\tilde{K}_j; Y_j)$ .  
Regarder d'autres cryptanalyses (statistique, ...).
  - Attaquer des formes réduites de candidats AES.
  - Réussir à utiliser la technique des Reed-Muller pour des biais plus petits.
  - Etudier la complexité de l'algorithme de Valembois.

- On a vu un moyen d'**estimer la quantité d'information** gagnée lors d'une cryptanalyse.
- On peut **diminuer la complexité** de l'attaque directe en utilisant des techniques de codage.
- Perspectives :
  - Pour utiliser cette borne il suffit de pouvoir calculer  $\mathcal{I}(\tilde{K}_j; Y_j)$ .  
Regarder d'autres cryptanalyses (statistique, ...).
  - Attaquer des formes réduites de candidats AES.
  - Réussir à utiliser la technique des Reed-Muller pour des biais plus petits.
  - Etudier la complexité de l'algorithme de Valembois.